

В. А. ДОМБРОВСКИЙ, С. А. ДОМБРОВСКИЙ, Е. Ф. ПЕН  
(Новосибирск)

### ПОМЕХОУСТОЙЧИВОСТЬ ГОЛОГРАФИЧЕСКОЙ ПАМЯТИ ПРИ ПАРАФАЗНОМ КОДИРОВАНИИ ДАННЫХ

В [1] проанализирована эффективность применения корректирующих кодов в голографической памяти. Показано, что такие коды целесообразно применять тогда, когда характеристики голограммы достаточно высоки (контраст  $K > 25$ , сигнал/шум «единиц»  $(C/Ш)_1 > 5$  и «нулей»  $(C/Ш)_0 > 2$ ), а их случайные флуктуации меньше 2%. В противном случае (флуктуации характеристик больше 2%) из-за сильной корреляции ошибок эффективность применения корректирующих кодов невысока. Кроме того, недостатком такого кодирования является необходимость оптимальным образом подбирать режим фотосчитывания для каждой текущей голограммы.

В [2] для повышения качества записи и надежности считывания голограмм предложено использовать парафазное представление данных. Показано, что совместно с рандомизирующей фазовой маской такой способ кодирования позволяет снизить основные трудности формирования голограмм, связанные с переменным количеством «единиц» в записываемом изображении.

Предварительный анализ парафазного способа кодирования данных в голографической памяти показывает, что он дает ряд преимуществ:

постоянное количество «единиц» и их равномерное размещение по полю изображения резко снижает шумы, обусловленные интермодуляционными и перекрестными помехами;

инвариантность режима фотосчитывания к уровню принимаемого сигнала (нулевой порог различения парафазной «единицы» и «нулей» является оптимальным независимо от качества голограмм);

нечувствительность к синхронным помехам (например, таким, как неравномерность яркости оптических сигналов по полю изображения);

потенциально более высокая чувствительность парафазного приема по сравнению с однофазным.

Однако такое кодирование уменьшает емкость памяти в 2 раза. Поэтому возникает вопрос о том, оправдывается ли потеря емкости за счет существенного улучшения других системных характеристик, например, повышения достоверности считывания голограмм или снижения требований к аппаратным средствам автоусторок и коррекций.

Цель данной статьи — дать ответ на этот вопрос путем оценки помехоустойчивости канала голографической памяти в случае применения парафазного кодирования данных.

При восстановлении голограммы, в которой записана двумерная страница данных, на фотоприемную матрицу поступают оптические сигналы. Примем, что оптический сигнал мощностью  $P_1$  соответствует двоичной «единице», а сигнал мощностью  $P_0$  — двоичному «нулю». Поскольку при парафазном представлении каждый символ кодируется парой сигналов: «01» или «10», то парафазная ошибка (событие  $A$ ) может произойти только при совместном наступлении двух событий:

1) событие  $B_{ij}$ , заключающееся в том, что в восстановленном изображении в произвольных позициях имеются  $i$  ( $i \neq 0$ ) «плохих» «единиц» и  $j$  ( $j \neq 0$ ) «плохих» «нулей», мощности которых подчиняются соотношению  $P_1 < P_0$ ;

2) событие  $A/B_{ij}$ , состоящее в том, что «плохие» «единица» и «нуль» попадут на парафазный элемент фотоматрицы. Следовательно, полная вероятность парафазной ошибки  $N(A)$  определяется формулой

$$N(A) = \sum_i \sum_{j \neq 0} N(B_{ij}) N(A/B_{ij}), \quad (1)$$

где  $N(B_{ij})$  — вероятность события  $B_{ij}$ ;  $N(A/B_{ij})$  — вероятность события  $A$  при условии, что событие  $B_{ij}$  произошло.

При малой вероятности события  $N(B_{ij})$  в выражении (1) можно ограничиться первым членом суммы

$$N(A) \approx N(B_{11})N(A/B_{11}), \quad (2)$$

здесь  $N(B_{11})$  — вероятность появления в произвольных позициях восстановленного изображения «единицы» и «нуля», мощности которых связаны соотношением  $P_1 < P_0$ ;  $N(A/B_{11})$  — вероятность того, что эти «единица» и «нуль» образуют парафазный символ при условии, что событие  $B_{11}$  произошло.

Определим связь условной вероятности  $N(A/B_{11})$  с  $N(B_{11})$ . Пусть вероятность  $N(B_{11})$  равна  $2/L$ . Это означает, что в странице, содержащей  $L$  информационных пучков, имеется в среднем одна «единица» и один «нуль», мощности которых удовлетворяют неравенству  $P_1 < P_0$ . Предположим, что мощности изображений «единиц» и «нулей» — взаимно перекоррелированные случайные величины. Тогда условная вероятность  $N(A/B_{11})$  того, что «слабая» «единица» и «сильный» «нуль» образуют парафазный символ, равняется

$$N(A/B_{11}) = \frac{LP_{L-2}}{P_L} = \frac{L(L-2)!}{L!} \approx \frac{1}{2} N(B_{11}), \quad (3)$$

где  $P_{L-2}$  — число перестановок из  $(L-2)$  элементов ( $LP_{L-2}$  — число благоприятных случаев; пара минимальная «единица» и максимальный «нуль» считается одним элементом);  $P_L$  — число перестановок из  $L$  элементов (общее число случаев).

Подставляя (3) в (2), находим

$$N(A) \approx \frac{1}{2} N^2(B_{11}), \quad (4)$$

т. е. полная вероятность ошибки при парафазном кодировании приближенно равна половине квадрата вероятности появления в восстановленном изображении «единицы» и «нуля» таких, что  $P_1 < P_0$ .

Найдем вероятность  $N(B_{11})$ . Функция распределения  $\rho_{10}(P_{10})$  плотности вероятности результирующей мощности  $P_{10}$  изображений «единицы» и «нуля», как показано в [3], подчиняется обобщенному распределению Рэлея — Райса и может быть записана в виде

$$\rho_{10}(P_{10}) = \frac{1}{\sqrt{2\pi} \sigma'_{10} \bar{P}_{10}^{3/4} P_{10}^{1/4}} \exp \left[ -\frac{2}{\bar{P}_{10} \sigma'_{10}} (\sqrt{P_{10}} - \sqrt{\bar{P}_{10}})^2 \right], \quad (5)$$

где  $\bar{P}_{10}$  и  $\sigma'_{10}$  — средние значения и коэффициенты вариаций мощностей изображений «единиц» и «нулей». Выражение (5) справедливо при  $\sigma_{10}^2 \ll 1$ ,  $(4/\sigma_{10}^2)(P_{10}/\bar{P}_{10})^{1/2} \gg 1$ .

Вероятность появления события  $B_{11}$ , заключающегося в том, что случайная величина  $y = (P_1 - P_0)$  меньше нуля, определяется из выражения, приведенного в [4]:

$$N_{\text{ош}}(y < 0) = \int_0^{\infty} \rho_1(P_1) \int_{P_1}^{\infty} \rho_0(P_0) dP_0 dP_1. \quad (6)$$

Подстановка (5) в (6) дает

$$N_{\text{ош}}(y < 0) = \int_0^{\infty} \frac{\beta_1^{1/2}}{\sqrt{2\pi\alpha_1}} \exp \left\{ -\frac{(\beta_1 - \alpha_1)^2}{2} \right\} \int_{\beta_1}^{\infty} \frac{\beta_0^{1/2}}{\sqrt{2\pi\alpha_0}} \exp \left\{ -\frac{(\beta_0 - \alpha_0)^2}{2} \right\} d\beta_0 d\beta_1, \quad (7)$$

где  $\alpha_{10} = \frac{2}{\sigma'_{10}}$ ;  $\beta_{10} = \frac{2}{\sigma'_{10}} \left( \frac{P_{10}}{\bar{P}_{10}} \right)^{1/2}$ ;  $\beta_1 = \frac{2}{\sigma'_0} \left( \frac{P_1}{\bar{P}_0} \right)^{1/2} = \beta_1 \alpha'$ ;  $\alpha' = \frac{\sigma'_1 K^{1/2}}{\sigma'_0}$ ;  $K = \bar{P}_1/\bar{P}_0$  — контраст в изображении страницы.

В приближении  $\alpha_0\beta_0 \gg 1$ ,  $\beta_1 - \alpha_0 \gg 1$  второй интеграл в (7) согласно [5] преобразуется

$$\frac{1}{\sqrt{2\pi\alpha_0}} \int_{\beta_0}^{\infty} \beta_0^{1/2} \exp\left\{-\frac{(\beta_0 - \alpha_0)^2}{2}\right\} d\beta_0 \simeq \frac{\beta_0^{1/2}}{\sqrt{2\pi\alpha_0}} \frac{\exp\left\{-\frac{(\beta_0 - \alpha_0)^2}{2}\right\}}{(\beta_0 - \alpha_0)}. \quad (8)$$

С учетом (8) формула (7) приводится к виду

$$N_{\text{ом}}(y < 0) \simeq \frac{\sqrt{\alpha'}}{2\pi\sqrt{\alpha_0}} \int_{\beta_0}^{\infty} \frac{\beta_1}{(\beta_1\alpha' - \alpha_1)} \exp\left\{-\frac{(\beta_1 - \alpha_1)^2}{2} - \frac{(\beta_1\alpha' - \alpha_0)^2}{2}\right\} d\beta_1$$

где  $\varphi(t) = \left(\frac{t + \sqrt{2}\xi/(\sigma_0'\sigma_1'\eta)}{t + \sqrt{2}\Delta\sigma_0'/(\sqrt{K}\sigma_1'\eta)}\right) \exp(-t^2)$ ;  $\eta = (\sigma_0'^2 + K\sigma_1'^2)^{1/2}$ ;  $\xi = \sigma_0'^2 + \sqrt{K}\sigma_1'^2$ ;  $\Delta = \sqrt{K} - 1$ .

Подынтегральная функция  $\varphi(t)$  для типичных значений характеристик голограммы ( $K=30$ ,  $\sigma_1'=0,2$ ,  $\sigma_0'=0,4$  [6]) приведена на рис. 1. На этом же рисунке изображен вид функции  $\psi(t) = \frac{\xi\sqrt{K}}{\sigma_0'\Delta} \exp(-t^2)$ .

Численные расчеты показывают, что при изменении характеристик  $K$ ,  $\sigma_0'$ ,  $\sigma_1'$  в широких пределах ( $K=10-100$ ,  $\sigma_1'=0,15-0,4$ ,  $\sigma_0'=0,2-0,7$ ,  $\sigma_0' > \sigma_1'$ ) площади, ограниченные кривыми  $\varphi(t)$  и  $\psi(t)$ , отличаются не более чем на 20%. Поэтому для оценки вероятности  $N_{\text{ом}}(y < 0)$  в выражении (9) заменим функцию  $\varphi(t)$  на  $\psi(t)$ . После взятия интеграла и некоторых преобразований получим выражение

$$N_{\text{ом}}(y < 0) \simeq \frac{K^{1/4}(\sigma_0'^2 + \sqrt{K}\sigma_1'^2) e^{\frac{-2(\sqrt{K}-1)^2}{\sigma_0'^2 + K\sigma_1'^2}}}{4\sqrt{2\pi}(\sqrt{K}-1)(\sigma_0'^2 + K\sigma_1'^2)^{1/2}} \left\{ 1 + \Phi\left(\frac{2(\sigma_0'^2 + \sqrt{K}\sigma_1'^2)}{\sigma_0'\sigma_1'\sqrt{\sigma_0'^2 + K\sigma_1'^2}}\right) \right\}, \quad (10)$$

где  $\Phi(q) = \frac{1}{\sqrt{2\pi}} \int_{-q}^q e^{-t^2/2} dt$  — интеграл ошибок. Приняв во внимание, что функция  $\Phi(q)$  близка к единице при любых реальных характеристиках голограммы ( $K, \sigma_{10}'$ ), для вероятности  $N_{\text{ом}}(y < 0)$  имеем

$$N_{\text{ом}}(y < 0) \simeq \frac{K^{1/4}(\sigma_0'^2 + \sqrt{K}\sigma_1'^2)}{\sqrt{2\pi}(\sigma_0'^2 + K\sigma_1'^2)} \times \frac{e^{-z_n^2/2}}{z_n}; \quad z_n = \frac{2(\sqrt{K}-1)}{\sqrt{\sigma_0'^2 + K\sigma_1'^2}}. \quad (11)$$

С учетом (4) достоверность считывания при парафазном кодировании

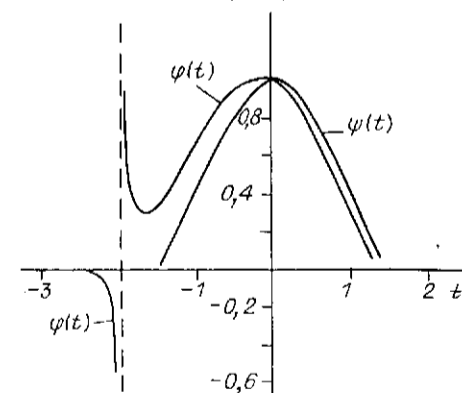
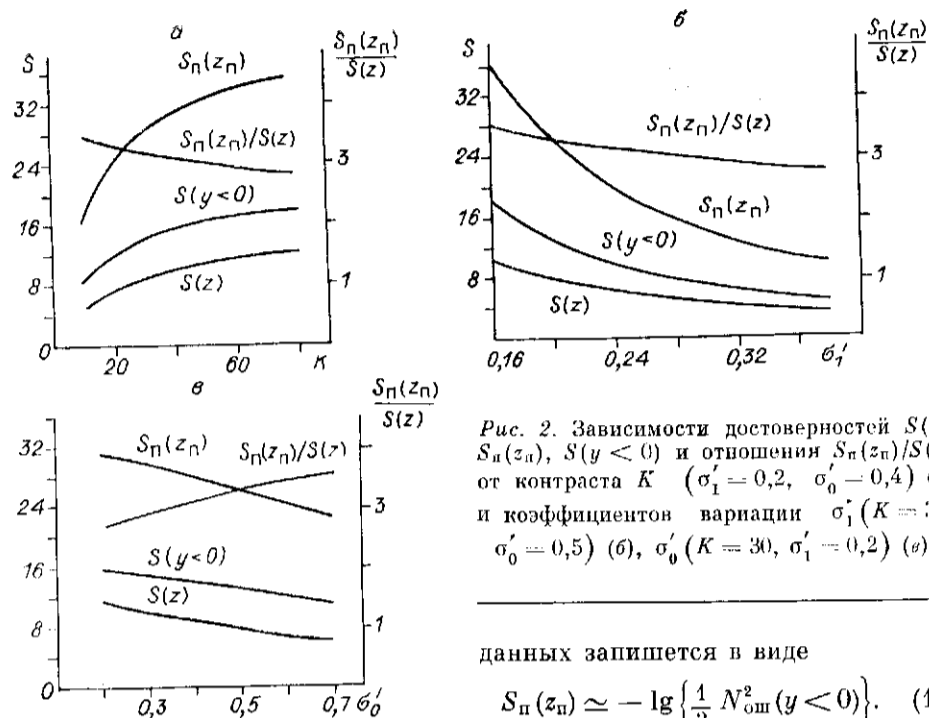


Рис. 1. Подынтегральные функции  $\varphi(t)$  и  $\psi(t)$



Сравним полученное выражение с достоверностью считывания при безыбыточном кодировании информации в канале голографической памяти с постоянными параметрами. В [3] показано, что в этом случае полная достоверность считывания при оптимальном пороге различения «единиц» и «нулей» определяется как

$$S(z) = -\lg N(z), \quad (13)$$

где  $N(z) = \frac{\beta e^{-z^2/2}}{z}$ ;  $\beta = \frac{(1 + K^{1/4})}{2\sqrt{2\pi}} \left( \frac{\sigma'_0 + \sigma'_1}{\sigma'_0 + \sqrt{K}\sigma'_1} \right)^{1/2}$ ;  $z = \frac{2(\sqrt{K} - 1)}{\sigma'_0 + \sqrt{K}\sigma'_1}$ .

На рис. 2, а–в представлены зависимости  $S(z)$ ,  $S(y < 0) = -\lg N_{\text{ош}}(y < 0)$ ,  $S_n(z_n)$  от характеристик голограммы (контраста, коэффициентов вариаций «единиц», «нулей»). Из рисунков видно, что достоверность  $S(y < 0)$ , которая определяет полную достоверность  $S_n(z_n)$  при парафазном кодировании, значительно выше  $S(z)$ . Это объясняется тем, что при обычном кодировании в аргумент экспоненциального множителя в выражении (13) входит величина  $(\sigma'_0 + \sqrt{K}\sigma'_1)/2(\sqrt{K} - 1)$ , которую можно рассматривать как обобщенный коэффициент вариации некоторой эффективной случайной величины. При парафазном кодировании вероятность ошибки зависит от коэффициента вариации  $\sqrt{\sigma_0'^2 + K\sigma_1'^2}/2(\sqrt{K} - 1)$ . Поскольку  $(\sigma'_0 + \sqrt{K}\sigma'_1)^2 \geq \sigma_0'^2 + K\sigma_1'^2 \Leftrightarrow 2\sigma'_0\sigma'_1\sqrt{K} \geq 0$ , то  $S(z) \leq S(y < 0)$ . На рис. 2, а–в приведена также зависимость отношения  $S_n(z_n)/S(z)$ , которая показывает, что для практических значений характеристик голограмм достоверность считывания при парафазном представлении данных приблизительно в 3 раза превышает достоверность считывания при обычном кодировании.

С целью проверки правильности выражения для вероятности  $N_{\text{ош}}(y < 0)$  было проведено сравнение расчетных (вычисленных по формуле (11)) и экспериментальных результатов. Эксперименты проводились в устройстве [7]. Использовалась голограмма с исходными характеристиками  $K = 34$ ,  $\sigma'_1 = 0,2$ ,  $\sigma'_0 = 0,5$ . Качество голограммы намеренно ухудшалось путем смещения восстанавливающего пучка относительно

$\Delta x, \Delta \xi$	$K$	$\sigma'_1$	$\sigma'_0$	$S_p(z)$	$S_s(z)$	$S_p(y < 0)$	$S_s(y < 0)$
1	2	3	4	5	6	7	8
$\Delta x = 0$	34	0,2	0,5	8,4	—	27,7	—
$\Delta x = 72$	11,7	0,31	0,53	3	3	5,3	—
$\Delta x = 90$	9	0,32	0,54	2,4	2,9	4,3	4,2
$\Delta \xi = 160$	10,6	0,27	0,87	2,2	2,9	4,1	4,2

Примечание.  $\Delta x$  — смещение информационных пучков в плоскости фотоматрицы (мкм);  $\Delta \xi$  — смещение восстанавливающего пучка в плоскости голограммы (мкм);  $2\omega_0 = 220$ ,  $2\omega_n = 300$  мкм.

голограммы или информационных пучков относительно фотоматрицы. Для каждого смещения пучков устанавливался оптимальный порог  $u_i$  считывания. Затем производилось циклическое считывание с диагностикой и подсчетом общего числа ошибок. Экспериментальное значение достоверности считывания находилось из соотношения

$$S_s(z) = -\lg \frac{\text{общее число ошибок}}{\text{емкость гол.} \times \text{число циклов считывания}}.$$

Далее для определенного смещения пучков последовательно изменялся порог  $u_i$  считывания вблизи оптимального. При этом для каждого значения порога производилось циклическое считывание и подсчитывалось число событий  $B_i$ , когда одновременно появлялись ложные «нуль» и «единица». Значение достоверности  $S_s(y < 0)$  находилось из соотношения

$$S_s(y < 0) = -\lg \sum_i \frac{\text{число событий } B_i}{\text{емкость гол.} \times \text{число циклов считывания}}.$$

После этого производилось измерение характеристик голограммы (по методике [8]) и по формулам (13), (11) находились расчетные значения  $S_p(z)$  и  $S_p(y < 0)$ . Результаты экспериментов сведены в таблицу. Расчетные и экспериментальные данные (колонки 5—8) хорошо согласуются между собой, что свидетельствует о правильности оценок  $S(z)$  и  $S(y < 0)$  по формулам (13), (11) соответственно.

Выражение (12) описывает достоверность считывания при парафазном способе кодирования данных в канале голографической памяти с постоянными параметрами. Однако, как показано в [9], в реальных условиях характеристики голограмм являются случайно изменяющимися величинами. Вероятность ошибки в канале с флуктуирующими параметрами может быть получена из выражения [9]

$$\bar{N}_{\text{оп,п}} = \int_0^{z_n} N_{\text{оп,п}}(z_n) W(z_n) dz_n, \quad (14)$$

где  $W(z_n)$  — закон плотности распределения величины  $z_n$ . Найдём среднюю вероятность ошибки при парафазном представлении информации при условии, что изменения состояния канала голографической памяти ( $z_n$ ) обусловлены случайными смещениями информационных ( $t = x = \Delta x / \omega_n$ ) или восстанавливающего ( $t = \xi = \Delta \xi / \omega_n$ ) пучков относительно фотоматрицы и голограммы соответственно. Здесь  $\Delta x$ ,  $\Delta \xi$ , а также  $2\omega_0$ ,  $2\omega_n$  — абсолютные смещения и размеры информационного и восстанавливающего пучков соответственно. Искажения голограмм, вызванные случайными абберациями пучков, являются основными и трудно устранимыми. Зависимость  $z_n$  от  $x$ , рассчитанная из формулы (11) по экспериментальным данным, полученным в [9], приведена на рис. 3. Как видно из рисунка, эту зависимость можно представить в виде  $z_n(x) = z_{n0}(1 - x^2)$  (на рисунке показана сплошной линией, точками обозначены экспери-

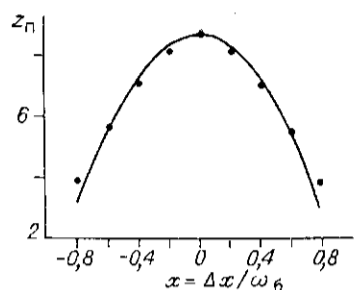


Рис. 3. Зависимость параметра  $z_n$  от относительного смещения  $x$  информационных пучков в плоскости фотоматрицы

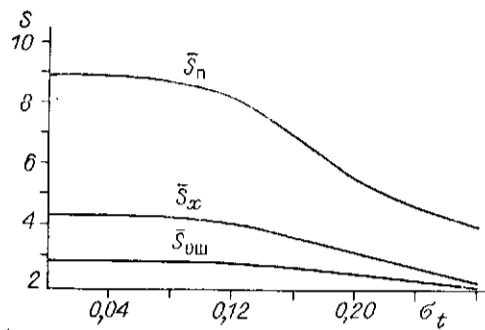


Рис. 4. Зависимости средней достоверности считывания от среднеквадратического отклонения величины смещения пучков  $\sigma_t$

ментальные значения). Воспользовавшись результатами [9], функцию плотности вероятности величины  $z_n$  запишем

$$W(z_n) \simeq \exp\left(-\frac{z_{n0} - z_n}{2\sigma_t^2 z_{n0}}\right) (2\sigma_t^2 z_{n0}), \quad (15)$$

где  $\sigma_t^2$  — дисперсия случайной величины смещения информационного или восстанавливающего пучков;  $z_{n0}$  — значение  $z_n$  в отсутствие аберраций пучков. Учитывая (11), (12), (14), (15), для средней вероятности ошибки имеем

$$\bar{N}_{ош,п} \simeq \int_0^{z_{n0}} \frac{K^{1/2} (\sigma_0'^2 + \sqrt{K}\sigma_1'^2)^2 e^{-z_n^2} e^{\frac{z_{n0} - z_n}{2\sigma_t^2 z_{n0}}}}{4\pi (\sigma_0'^2 + K\sigma_1'^2) z_n^2} \frac{z_{n0} - z_n}{2\sigma_t^2 z_{n0}} dz_n. \quad (16)$$

После замены в подынтегральном выражении медленно меняющихся функций (перед экспоненциальными множителями) их средними значениями (например,  $z_n = z_{n0}(1 - \sigma_t^2)$ ) и выполнении интегрирования для  $\bar{N}_{ош,п}$  получим приближенное выражение

$$\bar{N}_{ош,п} \simeq \frac{K^{1/2} (\sigma_0'^2 + \sqrt{K}\sigma_1'^2)^2 e^{-\frac{8\sigma_t^2 z_{n0}^2 - 1}{16\sigma_t^4 z_{n0}^2}}}{16\sqrt{\pi} (\sigma_0'^2 + K\sigma_1'^2)^2 z_{n0}^3 \sigma_t^2} \left\{ \Phi\left(\frac{\sqrt{2}}{4\sigma_t^2 z_{n0}}\right) + \Phi\left(\left(z_{n0} - \frac{1}{4\sigma_t^2 z_{n0}}\right)\sqrt{2}\right) \right\}. \quad (17)$$

В последнем выражении учтено также, что  $\sigma_t^2 \ll 1$ .

На рис. 4 представлены зависимости средней достоверности считывания от среднеквадратического отклонения  $\sigma_t$ , характеризующего амплитуду случайных аберраций пучков ( $S_n$  — парафазное кодирование,  $S_x$  — кодирование данных в корректирующем коде Хэмминга (39,32) [4],  $S_{ош}$  — безыбыточное кодирование [9]). Сравнение результатов свидетельствует о том, что помехоустойчивость парафазного кода в ГП значительно превышает помехоустойчивость корректирующих кодов. Особенно наглядно это проявляется при низких исходных значениях характеристик голограмм ( $K = 10$ ,  $\sigma_1' = 0,3$ ,  $\sigma_0' = 0,5$ ) и аберрациях  $\sigma_t < 0,15$ . Так, для  $\sigma_t = 0,12$  (максимальное смещение информационного пучка  $\Delta x = 36$  мкм для  $2\omega_6 = 200$  мкм) применение корректирующего кода Хэмминга (39,32) уменьшает вероятность ошибки только на порядок (с  $10^{-3}$  до  $10^{-4}$ ), тогда как парафазный код позволяет снизить вероятность ошибки на 5 порядков (с  $10^{-3}$  до  $10^{-8}$ ). Необходимо также отметить, что кодирование информации с помощью корректирующих кодов требует дополнительных средств для выбора оптимального режима фотосчитывания (порога различения «единиц» и «нулей», времени накопления), что ведет к усложнению аппаратуры и увеличению времени считывания.

Итак, в данной статье получены аналитические выражения для оценки достоверности считывания при парафазном представлении данных в канале голографической памяти с постоянными и флуктуирующими параметрами. На их основе установлено, что: 1) в канале голографической памяти с постоянными параметрами вероятность ошибки  $N_n(z_n)$  при парафазном кодировании приближенно равна половине квадрата вероятности появления в массиве данных «единицы» и «нуля» таких, что  $P_1 < P_0$ , или третьей степени исходной вероятности ошибки при избыточном кодировании ( $N_n(z_n) \sim N^3(z)$ ); 2) в канале голографической памяти с флуктуирующими параметрами парафазный способ представления информации остается эффективным при достаточно низком исходном качестве голограмм (контраст  $K = 10$ ,  $(C/Ш)_1 = 3$ ,  $(C/Ш)_0 = 2$ ) и абберациях пучков  $\sigma_i < 0,15$ . По сравнению с корректирующими кодами парафазный код позволяет снизить вероятность ошибки для таких голограмм на 3—5 порядков.

Таким образом, можно сделать вывод, что большая избыточность (50 %) парафазного способа кодирования в голографической памяти в полной мере компенсируется значительным повышением достоверности, а также снижением требований к аппаратуре фотосчитывания, системам автоюстировок и качеству голограмм.

#### ЛИТЕРАТУРА

1. Домбровский С. А. Оценка эффективности применения корректирующих кодов в голографических ЗУ // Автометрия.— 1989.— № 2.
2. Вербоецкий А. А., Федоров Б. В. Запись на фазовые голограммы информации в парафазном коде // Оптика и спектроскопия.— 1972.— 33, вып. 6.
3. Домбровский В. А., Домбровский С. А., Пен Е. Ф. Достоверность считывания информации в ГЗУ с постоянными параметрами при избыточном кодировании двоичных данных // Автометрия.— 1988.— № 6.
4. Финк Л. М. Теория передачи дискретных сообщений.— М.: Сов. радио, 1963.
5. Rice S. O. Mathematical analysis of random noise // Bell Syst. Techn. J.— 1944.— 23, N 3.— P. 282.
6. Блок А. А., Домбровский В. А., Домбровский С. А., Пен Е. Ф. Экспериментальные исследования достоверности считывания данных в голографических ЗУ // Автометрия.— 1984.— № 3.
7. Ванюшев Б. В., Волков А. В., Гибин И. С. и др. Устройство хранения и считывания данных в голографической системе архивной памяти // Там же.
8. Домбровский В. А., Домбровский С. А. Измерение статистических характеристик двухградационных изображений с помощью фотоматрицы // ОМП.— 1987.— № 12.
9. Домбровский С. А. Достоверность считывания в канале голографического ЗУ с флуктуирующими параметрами // Автометрия.— 1989.— № 1.

Поступила в редакцию 14 июня 1988 г.

УДК 681.327.68

В. С. СОБОЛЕВ, И. В. ФИЛИМОНЕНКО  
(Новосибирск)

#### ОПТИМИЗАЦИЯ ФОТОПРИЕМНОГО ТРАКТА МАГНИТООПТИЧЕСКОЙ ПАМЯТИ

Оптические дисковые накопители (ОДН) считаются одним из перспективных запоминающих устройств. Предполагается, что реверсивная магнитооптическая память явится преемником традиционных накопителей на жестких магнитных дисках и магнитных лентах. Способ магнитооптической записи [1] заключается в локальном воздействии лазерного излучения на пленку ферромагнитного материала в присутствии внеш-